

平衡车

目录

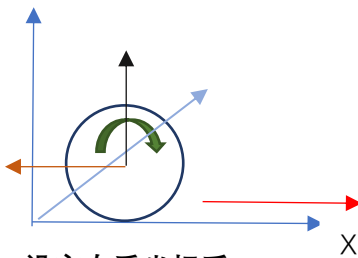
- 一、二维动力学建模
- 二、LQR 算法
- 三、SIMSCAPE 仿真
- 四、三维动力学建模
- 五、总结
- 六、动量块建模
(代码模型见附件)

一、动力学建模



先进行二维倒立摆建模，假设二维平面内存在一个倒立摆，由轮子和杆组成，如 1-1，轮子中有一电机作为驱动，与轮子同轴。地面存在摩擦力。假设不打滑。

对轮子进行坐标建立：



设定右手坐标系：

横向为 X

纵向为 Z

垂直向里为 Y

设置参数：

r: 轮子半径

T: 电机输出扭矩（顺时针为正）

f: 轮子与地面摩擦力

N: 轮子与杆在 X 轴的相互作用力

P: 轮子与杆在 Z 轴的相互作用力

F: 为扭矩在轮子边缘产生的力

x: 轮子的位移

v: 轮子的绝对速度

a: 轮子的加速度

α : 轮子的转速加速度

I: 轮子的 Y 轴的转动惯量

g: 重力加速度

Y 方向力矩平衡方程：

$$T - f * r = I * \alpha \quad (1.1)$$

X 方向力平衡方程：

$$f - N = a * m \quad (1.2)$$

Y 方向上转动惯量：

$$I = \frac{1}{2} * m * r^2 \quad (1.3)$$

为方便 simscape 仿真，倒立摆等效为滑块和杆。设定 F 作为滑块输入，沿 X 轴正方向；Ti 作为杆输入，顺时针为正方向，此时 Ti 为电机实际输出扭矩 T 的反作用扭矩，倒立摆类比修改后，简图为 1-2

对于滑块：

$$F = \frac{T}{r} \quad (1.4)$$

对于杆：

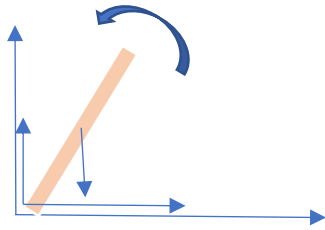
$$F = -\frac{Ti}{r} \quad (1.5)$$

联立 (1.1) (1.2) (1.3) (1.4)

得到：

$$F * r^2 - N * r^2 = (I + m * r^2) * a \quad (a)$$

对杆进行坐标建立：



Vx: X 方向绝对速度
Vz: Z 方向绝对速度
ax: X 方向加速度
az: Z 方向加速度
M: 杆的质量
d: 链接点到质心的距离
Tp: P 产生的扭矩
Tn: N 产生的扭矩
Jy: Y 轴的转动惯量
θ: 偏转角
β: 偏转角角速度
γ: 偏转角加速度 (顺时针为正)

X 方向力平衡方程：

$$N = M * ax \quad (2.1)$$

Z 方向力平衡方程：

$$P = M * az + Mg \quad (2.2)$$

杆所处坐标系为非惯性坐标系，合成绝对速度为：

X 方向绝对速度：

$$Vx = V + \beta * d * \cos\theta \quad (2.3)$$

Z 方向绝对速度：

$$Vz = -\beta * d * \sin\theta \quad (2.4)$$

对 (2.3) (2.4) 求导得：

$$ax = a + \gamma * d * \cos\theta - \beta^2 * d * \sin\theta \quad (2.5)$$

$$az = -\gamma * d * \sin\theta - \beta^2 * d * \cos\theta \quad (2.6)$$

Y 方向上，N 得 P 产生的扭矩：

$$P * d * \sin\theta = Tp \quad (2.7)$$

$$N * d * \cos\theta = Tn \quad (2.8)$$

Y 方向上，扭矩平衡方程：

$$Jy * \gamma = Tp - Tn + T \quad (2.9)$$

联立(2.9) (2.7) (2.8) (2.5) (2.6) (2.1) (2.2) (1.5) 并且使用线性化

$$(M * d^2 + J\gamma) * \gamma = M * g * d * \theta - M * d * a - F * r \quad (b)$$

联立(a) (2.1) (2.5)

$$F * r^2 - M * r^2 * d * \gamma = (I + m * r^2 + M * r^2) * a \quad (c)$$

对(a) (b)进行重整理得到两条分别关于 a 和 γ 的微分方程式，可用 matlab 进行整理：

假设： $m=4KG$ $M=1.6KG$ $r=0.1m$ $d=0.2m$ $J=0.064KG*m^2$ $g=9.81m/s^2$

$$\gamma = \left(\frac{225}{224} * F \right) - \left(\frac{6213}{280} * \theta \right) \quad (x)$$

$$a = \left(\frac{5}{56} * F \right) - \left(\frac{327}{350} * \theta \right) \quad (y)$$

二、 LQR 算法

将(x) (y)为状态空间方程形式

选取状态变量 $z = [x \ v \ a \ \theta \ \beta \ \gamma]$ 输出 $u = F$

设定：

$a = 43.6852$
 $b = -1.9775$
 $c = -1.8394$
 $e = 0.2148$

矩阵 A:

$\begin{bmatrix} 0 & 1 & 0 & 0 \\ 0 & 0 & c & 0 \\ 0 & 0 & 0 & 1 \\ 0 & 0 & a & 0 \end{bmatrix}$

矩阵 B:

$\begin{bmatrix} 0 \\ e \\ 0 \\ b \end{bmatrix}$

1)求矩阵 A 的特征根：

0
0
6.6095
-6.6095

存在特征根大于 0，系统不稳定

2)能控性分析：

矩阵 A 的维度为 4

$$C0 = [B \ A * B \ A^2 * B \ A^3 * B]$$

$$Rank(C0) = 4$$

系统可控

3)引入代价函数：

设定 Q 矩阵和 R 矩阵，QR 分别为半正定矩阵和正定矩阵。Q 为 $n*n$ ，R 为 $p*p$ ；n 为状态变量个数，p 为输入的个数。

Q 矩阵代表对状态变量的约束，R 矩阵代表对输入的约束，例如随着 R 的增大，会逐渐限制输入大小。由于实际使用中位移不好测量（例如传感器精度或者打滑），因此对位移的约束减少，但不能为 0；电机的扭矩有最大的输出限制，需要选择一个较为合适的 R 的来限制输出；

$$Q = \begin{bmatrix} 0.01 & 0 & 0 & 0 \\ 0 & 1000 & 0 & 0 \\ 0 & 0 & 1000 & 0 \\ 0 & 0 & 0 & 100 \end{bmatrix}$$

$$R = 0.1$$

4)使用 matlab 的 LQR 工具进行计算:

```
K = lqr(A,B,Q,R);
```

得到输出

```
K =  
  
-0.3162 -100.2122 -217.3449 -47.4633
```

输出:

$$u = -Kz(t)$$
$$F = -(K1 * z1 + K2 * z2 + K2 * z3 + K4 * z4 + K5 * z5 + K6 * z6)$$

F 作用的目标是将状态变量收敛为 0，假设需要将速度维持在 2，则需要偏置 z2，也就是说：

$$z2 = z2' - 2$$

z2'为真实的速度状态，这样当 z2 收敛为 0 的时候：

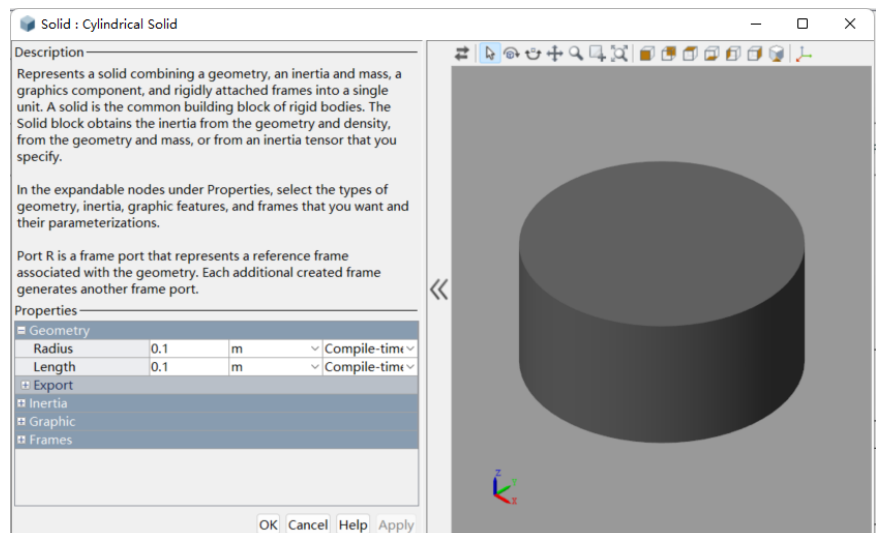
$$z2' = 2$$

三、 SIMSCAPE 仿真

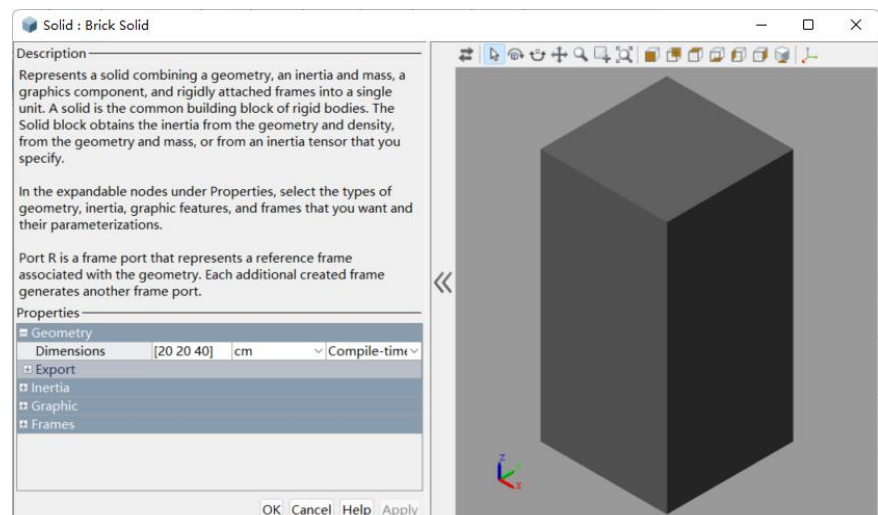
模型搭建:

圆柱模块作为轮子：设定半径、高度，密度修改为 $1g/m^3$

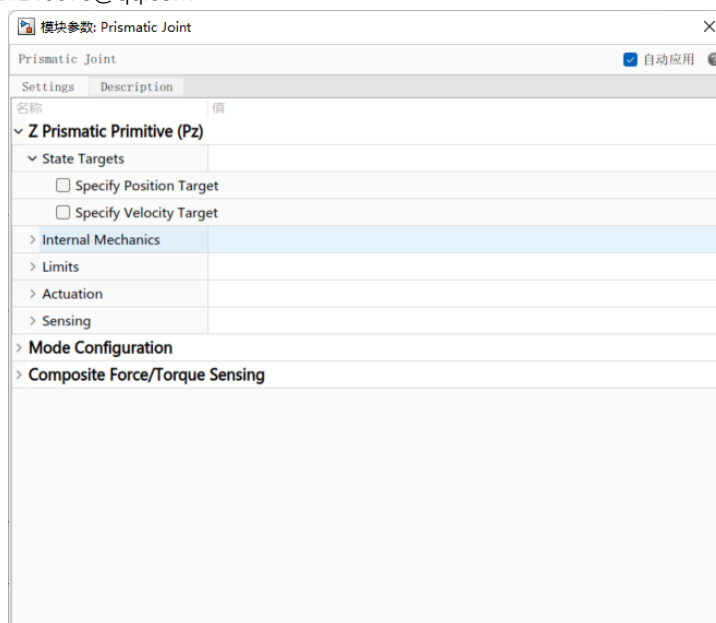
inertia 是指其惯性相关特性



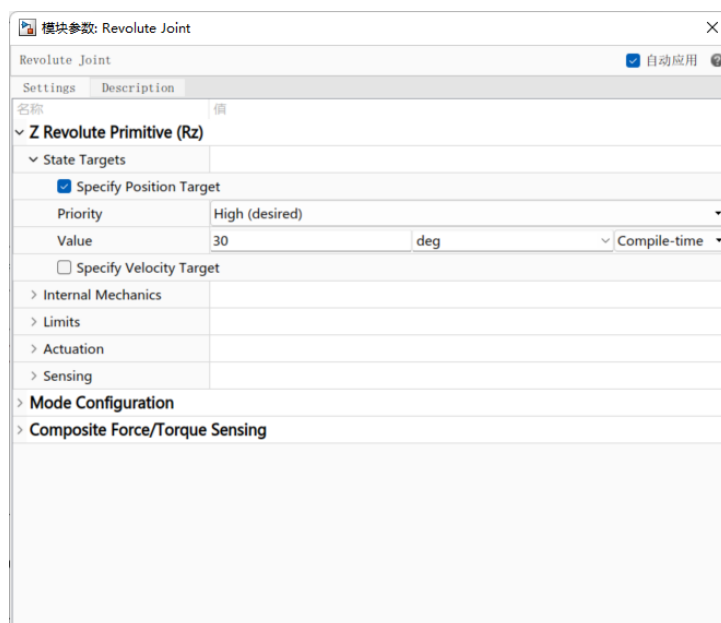
砖块模块作为车体：设定长宽高，密度修改为 $0.1g/m^3$



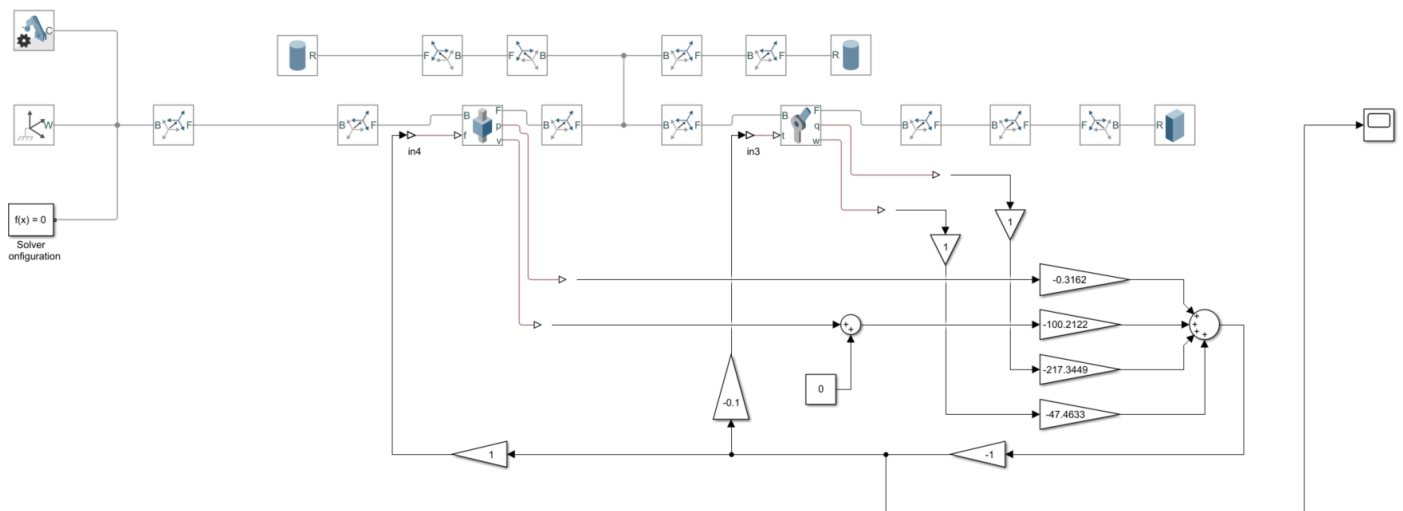
使用滑块作移动动作：沿着+X 轴方向为正
State Targets 是初始角度或者速度
Sensing 为传感器配置
internal Mechanics 可以配置其内部物理属性
actuation 配置驱动力方法



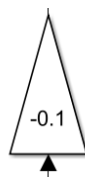
使用转动副作旋转动作：设定初始角度为 30，
沿着+Y 方向顺时针为正



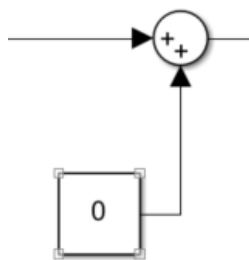
总拓扑：



由于输出为力 F ，在传入转动副中需要叉乘半径，并且根据关系 (1.5)

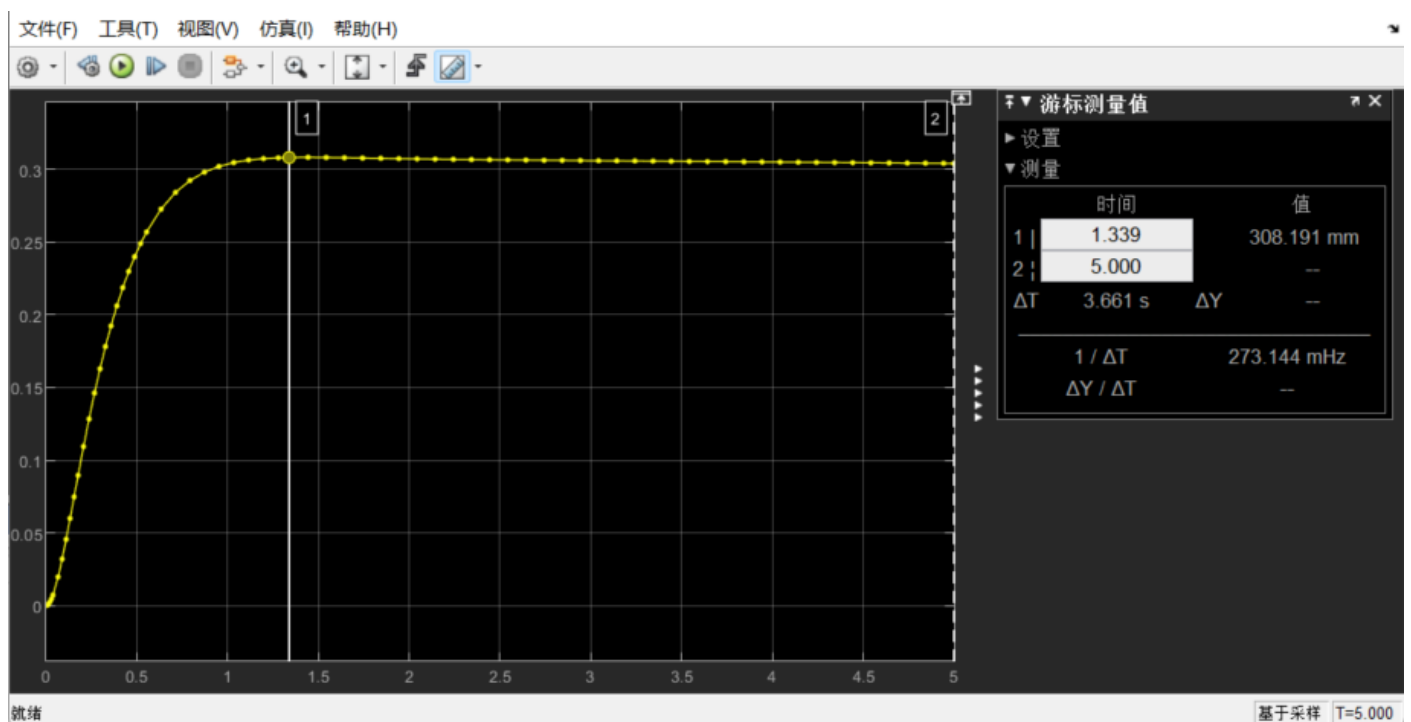


通过偏执修改目标速度：

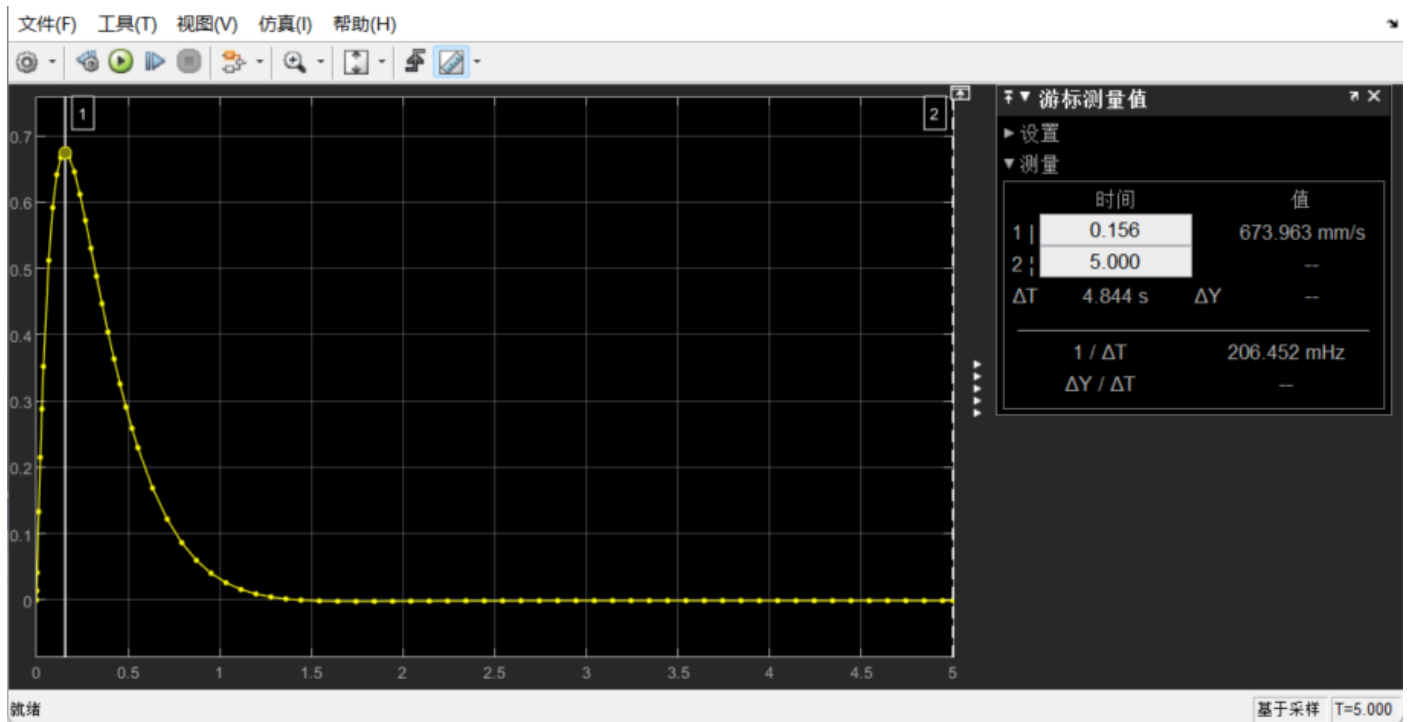


仿真结果分析：

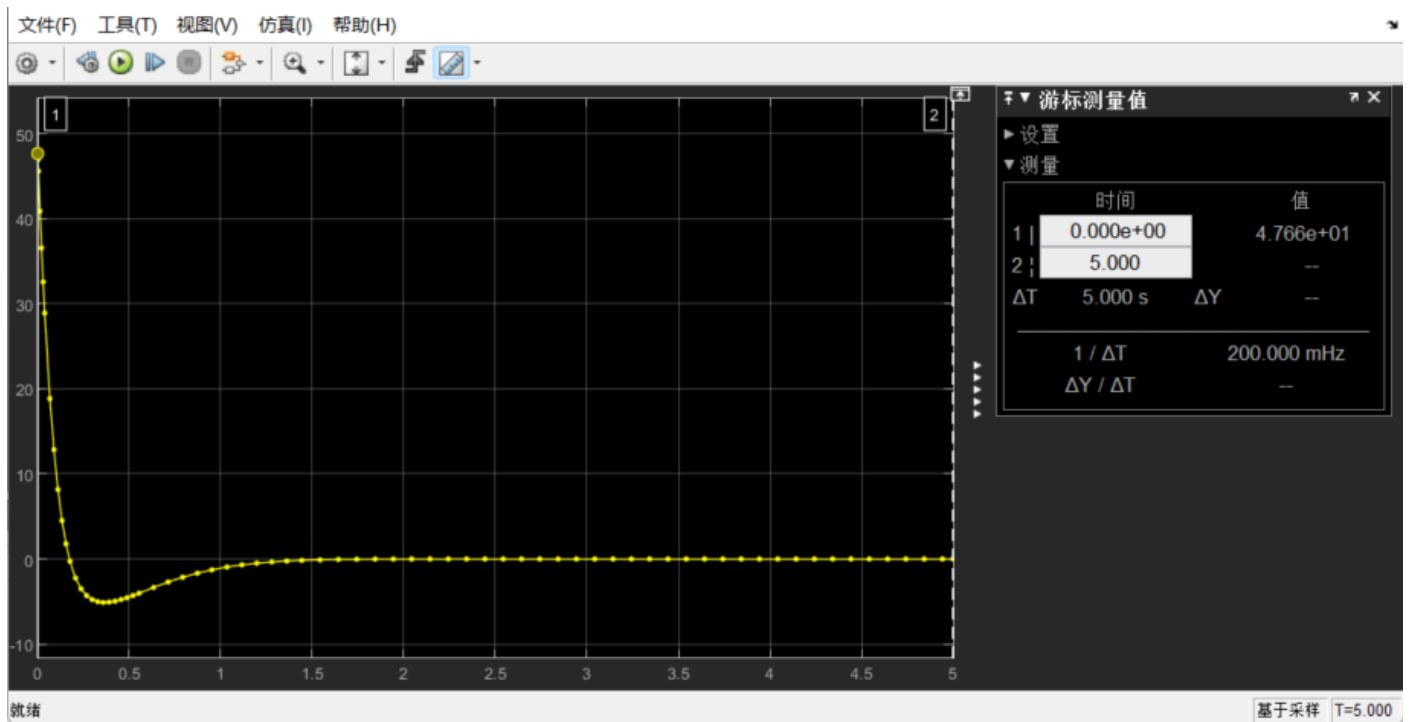
车体最大位移约为 308mm，耗时约为 1.339 秒



车体最大速度为 0.673m/s，推测电机最大转速为 8.91rpm



峰值输出为 47.66N，换算扭矩为 4.766N*m

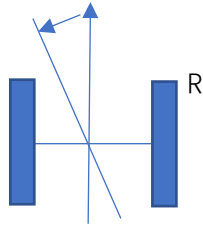


对于上述结果可以进行对电机进行选型，或者分析性能，分析可行性。

四、三维拓展

三维与二维主要区别是在 Y 轴上多了一个自由度 Yaw，以及 Roll，这里暂且不分析 Roll 轴情况，假定始终 Roll 为 0，只分析 Yaw；

设定逆时针为正方向



Tr: 右轮驱动扭矩
Tl: 左轮驱动扭矩
 Ω : 偏转角
 ω : 偏转角角速度
 $\dot{\omega}$: 偏转角角加速度
 J_z : z 方向转动惯量
Nr Nl: 左右轮与杆水平作用力

根据前文式 (a)

$$Tr * r - Nr * r^2 = (I + m * r^2) * ar \quad (3.1)$$

$$Tl * r - Nl * r^2 = (I + m * r^2) * al \quad (3.2)$$

Z 方向扭矩平衡方程：

$$(Nr - Nl) * \frac{l}{2} = J_z * \dot{\omega} \quad (3.3)$$

转动速度和轮子加速度关系：

$$\dot{\omega} = \frac{ar - al}{l} \quad (3.4)$$

联立上述四条式子：

$$\dot{\omega} = \frac{Tr - Tl}{r * \left(2 * \frac{J_z}{l} + l * \frac{m * r^2 + I}{r^2} \right)} \quad (c)$$

对于

$$\begin{aligned} (M * d^2 + J_y) * \ddot{\gamma} &= M * g * d * \theta - M * d * a - F * r \\ F * r^2 - M * r^2 * \ddot{\gamma} &= (I + m * r^2 + M * r^2) * a \end{aligned}$$

X 方向驱动力为左右线性叠加，并且质量发生改变，因此修改后为：

$$\begin{aligned} (M * d^2 + J_y) * \ddot{\gamma} &= M * g * d * \theta - M * d * a - F * r \\ F * r^2 - M * r^2 * \ddot{\gamma} &= (2 * I + 2 * m * r^2 + M * r^2) * a \end{aligned}$$

取输入

$$\begin{aligned} F &= (Tr + Tl) * r \\ T &= Tr - Tl \end{aligned}$$

可以推算出左右轮扭矩分别为

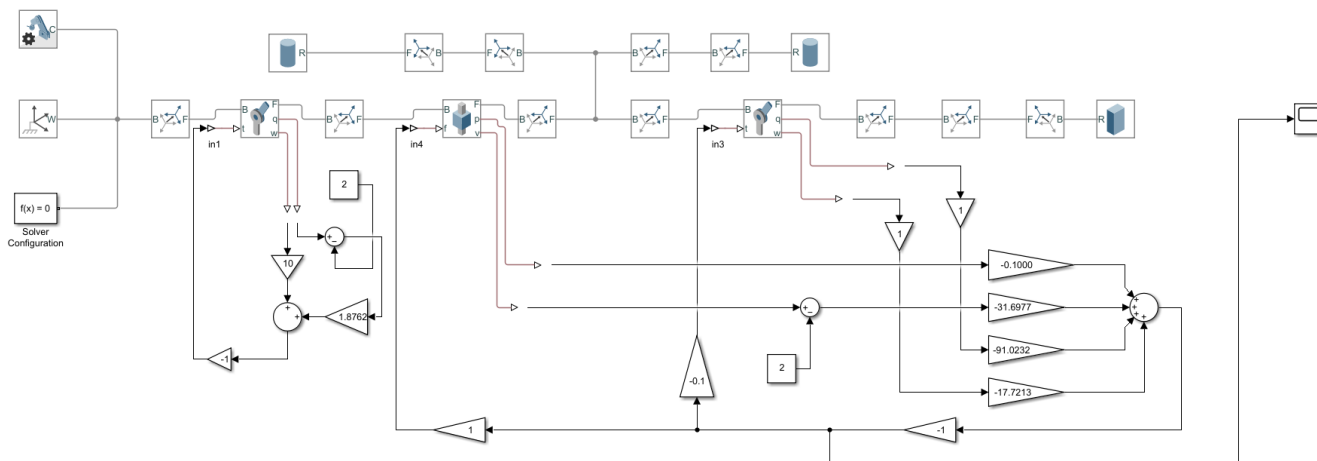
$$\begin{aligned} Tr &= \frac{1}{2} * \left(\frac{F}{r} + T \right) \\ Tl &= \frac{1}{2} * \left(\frac{F}{r} - T \right) \end{aligned}$$

按照前文所述对 (a) (b) (c) 进行建立状态空间方程，使用 lqr 工具得到 K

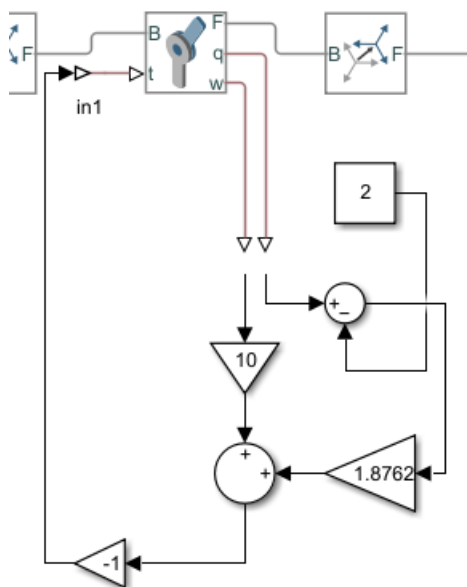
K =

```
-0.1000  -31.6977  -91.0232  -17.7213  -0.0000  -0.0000
-0.0000  -0.0000  -0.0000  -0.0000  10.0000  1.8762
```

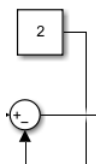

总拓扑：



与二维建模区别在于 z 轴上添加了一个转动副代替转向：



控制块



精彩瞬间

在仿真界面里可以安全快速的模拟调试，Matlab 的模型较为简单，后续可以使用 urdf 文件或者 stl 文件在 ros、coppelasim、webots 等里导入更复杂的模型，获得更好的仿真效果和控制体验。

五、总结 (2023.1.4)

模型建立

设定模型为右手坐标系，z 轴朝上，x 为水平正前方，旋转方向皆为右手系

x 为水平运动位移， θ 为倾角大小， β 为转向角度

d 为转轴到重心的距离，l 为轮距，r 为轮子半径

J 为车体转动惯量，I 为轮子转动惯量

单位为国际单位

动力学方程

$$\begin{aligned}\frac{d^2x}{dt^2} &= -\frac{Mdr^2}{2I + Mr^2 + 2mr^2} \frac{d^2\theta}{dt^2} + \frac{r}{2I + Mr^2 + 2mr^2} (T_R + T_L) \\ \frac{d^2\theta}{dt^2} &= -\frac{Md}{Md^2 + J_y} \frac{d^2x}{dt^2} + \frac{Mdg}{Md^2 + J_y} \theta - \frac{1}{Md^2 + J_y} (T_R + T_L) \\ \frac{d^2\beta}{dt^2} &= \frac{1}{r \left(\frac{2J_z}{l} + \frac{l(mr^2 + I)}{r^2} \right)} (T_R - T_L)\end{aligned}$$

整理方程

$$\begin{aligned}\frac{d^2x}{dt^2} &= -\frac{M^2d^2r^2g}{2I_{J_y} + 2IMd^2 + Mr^2J_y + 2J_ymr^2 + 2Mmd^2r^2} \theta + \frac{r(Md^2 + Mrd + J_y)}{2I_{J_y} + 2IMd^2 + Mr^2J_y + 2J_ymr^2 + 2Mmd^2r^2} (T_R + T_L) \\ \frac{d^2\theta}{dt^2} &= \frac{dgM^2r^2 + 2dgmMr^2 + 2dglM}{2I_{J_y} + 2IMd^2 + J_yMr^2 + 2J_ymr^2 + 2Md^2mr^2} \theta - \frac{2I + Mr^2 + 2mr^2 + Mdr}{2I_{J_y} + 2IMd^2 + J_yMr^2 + 2J_ymr^2 + 2Md^2mr^2} (T_R + T_L) \\ \frac{d^2\beta}{dt^2} &= \frac{1}{r \left(\frac{2J_z}{l} + \frac{l(mr^2 + I)}{r^2} \right)} (T_R - T_L)\end{aligned}$$

记

$$\begin{aligned}A1 &= -\frac{M^2d^2r^2g}{2I_{J_y} + 2IMd^2 + Mr^2J_y + 2J_ymr^2 + 2Mmd^2r^2} \\ B1 &= \frac{r(Md^2 + Mrd + J_y)}{2I_{J_y} + 2IMd^2 + Mr^2J_y + 2J_ymr^2 + 2Mmd^2r^2} \\ A2 &= \frac{dgM^2r^2 + 2dgmMr^2 + 2dglM}{2I_{J_y} + 2IMd^2 + J_yMr^2 + 2J_ymr^2 + 2Md^2mr^2} \\ B2 &= -\frac{2I + Mr^2 + 2mr^2 + Mdr}{2I_{J_y} + 2IMd^2 + J_yMr^2 + 2J_ymr^2 + 2Md^2mr^2} \\ B3 &= \frac{1}{r \left(\frac{2J_z}{l} + \frac{l(mr^2 + I)}{r^2} \right)}\end{aligned}$$

化简为

$$\begin{aligned}\frac{d^2x}{dt^2} &= A1 \theta + B1(T_R + T_L) \\ \frac{d^2\theta}{dt^2} &= A2\theta + B2(T_R + T_L) \\ \frac{d^2\beta}{dt^2} &= B3(T_R - T_L)\end{aligned}$$

状态空间方程

$$\frac{dz}{dt} = Az + Bu$$
$$y = Cz + Du$$

其中

$$D = 0$$
$$z = [\quad x \quad \frac{dx}{dt} \quad \theta \quad \frac{d\theta}{dt} \quad \beta \quad \frac{d\beta}{dt}]^T$$
$$\frac{dz}{dt} = [\quad \frac{dx}{dt} \quad \frac{d^2x}{dt^2} \quad \frac{d\theta}{dt} \quad \frac{d^2\theta}{dt^2} \quad \frac{d\beta}{dt} \quad \frac{d^2\beta}{dt^2}]^T$$

$$A = \begin{bmatrix} 0 & 1 & 0 & 0 & 0 & 0 \\ 0 & 0 & A1 & 0 & 0 & 0 \\ 0 & 0 & 0 & 1 & 0 & 0 \\ 0 & 0 & A2 & 0 & 0 & 0 \\ 0 & 0 & 0 & 0 & 0 & 1 \\ 0 & 0 & 0 & 0 & 0 & 0 \end{bmatrix}$$

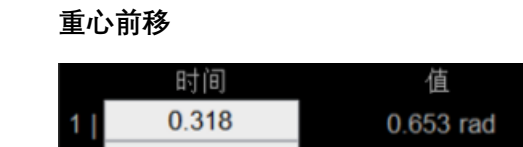
$$B = \begin{bmatrix} 0 & 0 \\ B1 & B1 \\ 0 & 0 \\ B2 & B2 \\ 0 & 0 \\ B3 & -B3 \end{bmatrix}$$

重量块的作用

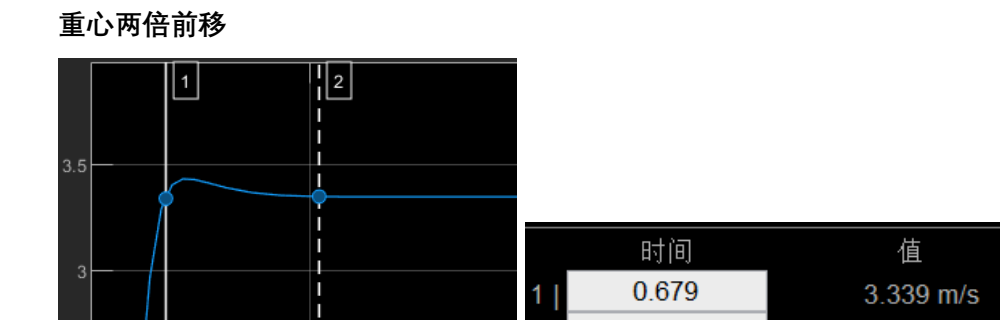
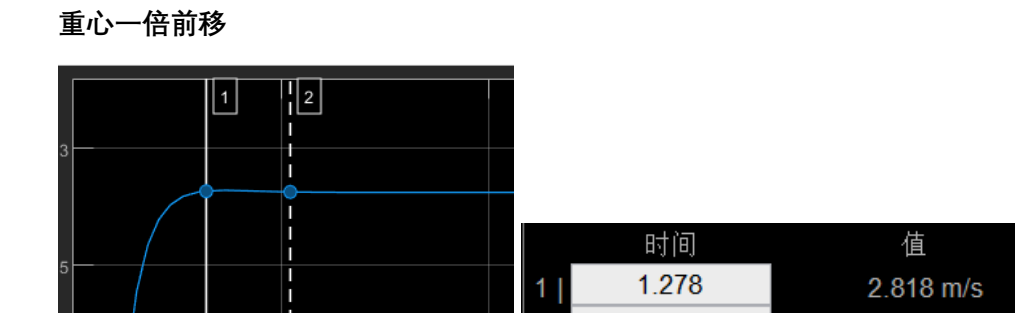
猜测：重量块在平衡车加速度减速的时候进行重心的调整，使之在较小的倾角下也能获得较好的加速度。当平衡车向前加速时，车体前倾，如果重量块前移，将重心调前，相当于车体前倾的效果，从而得到较好的加速表现。

仿真环境：让仿真平衡车在水平平衡状态开始向前运动

记录倾角峰值：



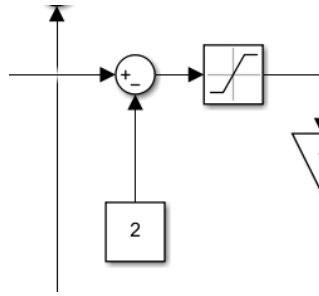
记录速度曲线：



仿真可以看到，前移重心并没有减少倾角大小，反而会增大。但是会缩短峰值时间，也就是说倾角会更快的收敛，并且在速度上，上升时间减少，也就是有更快的加速度。因此以上猜测并没有完全正确。

由于在加速过程中，车体会有前倾的动作，但这样的姿势带来不好的控制和实际应用效果，因此可以通过一

些处理得到抑制



平衡车的控制是通过调整速度的偏置 v_{set} ，然后收敛 $v - v_{set} = v_{err}$ 来进行达到目标速度。可以对 v_{err} 进行限幅，实现对倾角的抑制。以下为峰值倾角的前后对比：

	时间	值
1	0.343	0.642 rad
2	16.637	-0.128 rad

	时间	值
1	1.335	0.19 rad
2	16.637	-0.128 rad

可以看到，峰值的角度减少到三分之一，峰值时间是四倍，稳态误差不变

综上可以得到一个控制方案为，通过重力块来提高响应速度，通过限幅调整姿态

六、动量块建模

模型建立

设定模型为右手坐标系， z 轴朝上， x 为水平正前方，旋转方向皆为右手系， x 为水平运动位移， θ 为倾角大小， γ 为转向角度， x_d 为动量块在滑轨上的位移， l_1 为转轴到重心的距离， l_2 为轮距， m 为转轴质量， J_1 为车体绕 y 轴转动惯量， J_2 为轮子转动惯量， J_3 为车体绕 z 轴转动惯量， R 为轮子半径， M 为单个轮子质量， F_x 为杆沿 x 轴方向的分力， F_z 为杆沿 z 轴方向的分力， f 为轮子受到的摩擦力， T_L 为左侧电机输出的力矩， T_R 为右侧电机输出的力矩， L 为轮子转轴到动量块重心的距离， s 为轮子转轴到滑轨的垂直距离， T 为单个动量块对转轴的力矩， m_d 为动量块质量，单位均为国际单位。

动力学方程：

对转轴竖直平面上：

$$F_x = m \frac{d^2}{dt^2} (x + l_1 \sin \theta) = m \frac{d^2 x}{dt^2} + m l_1 \cos \theta \frac{d^2 \theta}{dt^2} - m l_1 \sin \theta \left(\frac{d\theta}{dt} \right)^2$$

$$F_z = m \frac{d^2}{dt^2} l_1 \cos \theta - mg = -mg - m l_1 \sin \theta \frac{d^2 \theta}{dt^2} - m l_1 \cos \theta \left(\frac{d\theta}{dt} \right)^2$$

$$J_1 \frac{d^2 \theta}{dt^2} = F_x l_1 \cos \theta - F_z l_1 \sin \theta - T_L - T_R$$

对单个轮子：

$$M \frac{d^2 x}{dt^2} = f - F_N$$

$$T_L + T_R - fR = \frac{J_2 d^2 x}{R dt^2}$$

对转轴水平平面上：

$$(T_R - T_L)R - \frac{2J_3 R^2 d^2 \gamma}{l_2 dt^2} = (J_2 + MR^2)l_2 \frac{d^2 \gamma}{dt^2}$$

线性化后整理可得

$$\begin{aligned} \frac{d^2 \theta}{dt^2} &= \frac{ml_1}{J_1 + ml_1^2} \frac{d^2 x}{dt^2} + \frac{mgl_1}{J_1 + ml_1^2} \theta - \frac{1}{J_1 + ml_1^2} (T_L + T_R) \\ \frac{d^2 x}{dt^2} &= -\frac{ml_1 R^2}{J_2 + MR^2 + mR^2} \frac{d^2 \theta}{dt^2} + \frac{R}{J_2 + MR^2 + mR^2} (T_L + T_R) \\ \frac{d^2 \gamma}{dt^2} &= \frac{1}{R \left(\frac{2J_3}{l_2} + l_2 \frac{MR^2 + J_2}{R^2} \right)} (T_L - T_R) \end{aligned}$$

假设引入动量块后对转轴在水平与竖直方向的受力影响可忽略，则对于转轴的力矩平衡调整为：

$$J_1 \frac{d^2 \theta}{dt^2} = F_x l_1 \cos \theta - F_z l_1 \sin \theta - T_L - T_R + T$$

其中：

$$T = m_d g L \left[\sin \left(\arctan \frac{x_d}{s} \right) + \cos \left(\arctan \frac{x_d}{s} \right) \theta \right]$$

$$L = \sqrt{x_d^2 + s^2}$$

对结果线性化，其中将 L 近似为 480mm，整理得

$$\begin{aligned} \frac{d^2 \theta}{dt^2} &= \frac{ml_1}{J_1 + ml_1^2} \frac{d^2 x}{dt^2} + \frac{mgl_1 + m_d g L}{J_1 + ml_1^2} \theta - \frac{1}{J_1 + ml_1^2} (T_L + T_R) + \frac{m_d g L}{sJ_1 + sml_1^2} x_d \\ \frac{d^2 x}{dt^2} &= -\frac{ml_1 R^2}{J_2 + MR^2 + mR^2} \frac{d^2 \theta}{dt^2} + \frac{R}{J_2 + MR^2 + mR^2} (T_L + T_R) \\ \frac{d^2 \gamma}{dt^2} &= \frac{1}{R \left(\frac{2J_3}{l_2} + l_2 \frac{MR^2 + J_2}{R^2} \right)} (T_L - T_R) \\ \frac{d^2 x_d}{dt^2} &= -\frac{m^2 l_1^2}{m_d (ml_1^2 + J_1)} \frac{d^2 x}{dt^2} + \frac{m^2 g l_1^2 + m_d g l_1 L}{m_d (ml_1^2 + J_1)} \theta - \frac{ml_1}{m_d (ml_1^2 + J_1)} (T_L + T_R) + \frac{g l_1 L}{sm l_1^2 + sJ_1} x_d \end{aligned}$$

使用 MATLAB 的 LQR 工具包获取 K 矩阵

附录 A MATLAB 代码

```
%%
%三维建模 real
clc;clear;

syms F ddth ddx th TR TL T0 ddbbe dbe be T;

g = 9.7833;
M = 6.754+0.88i;
d = 0.05244;
l = 0.48;
Jy = 1206539.81/1000/10000;
Jz = 0.35;
Jx = 0.46;
m = 1.423-0.44i;
r = 0.1;
I = 30022.65/1000/10000;

f1 = (TR+TL)*r-M*r^2*d*ddth == (2*I+2*m*r^2+M*r^2)*ddx;
f2 = (M*d^2+Jy)*ddth == M*g*d*th-M*d*ddx-(TR+TL);
f3 = ddbbe == (TR-TL)/(r*(2*Jz/l+1*(m*r^2+I)/r^2));

[s_ddx,s_ddth,s_ddbe] = solve(f1,f2,f3,ddx,ddth,ddbbe)

A1 = diff(s_ddx,th);
B1 = diff(s_ddx,TR);
A2 = diff(s_ddth,th);
B2 = diff(s_ddth,TR);
B3 = diff(s_ddbe,TR);

A1 = double(A1);
B1 = double(B1);
A2 = double(A2);
B2 = double(B2);
B3 = double(B3);

A = [0 1 0 0 0 0;
     0 0 A1 0 0 0;
     0 0 0 1 0 0;
     0 0 A2 0 0 0;
     0 0 0 0 0 1;
     0 0 0 0 0 0];
B = [0 0;
     B1 B1;
     0 0;
     B2 B2;
     0 0;
     B3 -B3];
```

```
eig(A)
C0 = [B A*B A^2*B A^3*B];
rank(C0)

Q = [100, 0, 0, 0, 0, 0;
      0, 900000, 0, 0, 0, 0;
      0, 0, 5000000, 0, 0, 0;
      0, 0, 0, 100000, 0, 0;
      0, 0, 0, 0, 500000, 0;
      0, 0, 0, 0, 0, 50000];
R = [100 0;
      0 100];

K = lqr(A,B,Q,R)
Acl = A-B*K;
```